

# ИЗУЧЕНИЕ ПРОЦЕССА ОКИСЛЕНИЯ НА ПОВЕРХНОСТИ $Pt_3Ti$ (510) МЕТОДОМ СКАНИРУЮЩЕЙ ТУННЕЛЬНОЙ МИКРОСКОПИИ

И.А. Курзина

Томский государственный архитектурно-строительный университет

E-mail: kurzina99@mail.ru

*Представлены результаты исследования элементного состава, структуры и морфологии поверхности кристалла  $Pt_3Ti$  (510) методами рентгеновской фотоэлектронной спектроскопии, дифракции электронов низкой энергии, рассеяния ионов малых энергий и сканирующей туннельной микроскопии. Показано, что чистая поверхность  $Pt_3Ti$  (510) состоит из множества террас с высотой 3,9 Å и средней шириной 20 Å. Верхний атомный слой поверхности содержит преимущественно атомы платины. Исследован процесс поверхностного окисления кристалла  $Pt_3Ti$  (510) при давлении кислорода  $3 \cdot 10^{-4}$  Па и температуре 773 К. Установлено, что на ранних стадиях окисления на краях террас формируются островки оксида титана (TiO). Дальнейшее окисление приводит к росту оксидного слоя и значительному изменению морфологии поверхности.*

## Введение

Процессы, протекающие на поверхности твердых тел, очень чувствительны к морфологическим особенностям материала. Расширение знаний о структурных изменениях поверхности под воздействием реакционной среды, в частности окислительной, имеет не только научное, но и прикладное значение, поскольку может способствовать обоснованному подбору промышленных материалов. Оксидные слои, формирующиеся на поверхности многих металлов и сплавов, вследствие своей высокой прочности, адсорбционной и каталитической пассивности могут кардинально менять поверхностные свойства материалов, применяемых в гетерогенном катализе, вакуумной технике и других отраслях промышленности. Интерметаллидные соединения широко используют в современном машиностроении, поэтому определение физико-химических и структурных свойств их поверхности, модифицированной под воздействием реакционной среды, является актуальной задачей.

Прогресс в развитии экспериментальных методов в 80-х годах XX века привел к появлению уникальных методов изучения структурных свойств поверхности, таких как сканирующая туннельная микроскопия (СТМ) [1, 2]. Метод СТМ позволяет исследовать морфологические особенности поверхности как до, так и после взаимодействия с реакционной средой на атомарном уровне, что значительно расширяет возможности исследования структурных свойств материалов. Как правило, СТМ используют при изучении структуры поверхности кристаллов с низкими индексами Миллера.

Однако, наибольший интерес представляют системы с большими индексами Миллера. Поверхности таких кристаллов состоят из плотно упакованных уступов (террас) и наиболее приближены к реальным материалам [1, 2]. В связи с этим, представляет интерес исследования структуры поверхности кристаллов интерметаллидов с высокими индексами Миллера и их морфологические изменения в ходе поверхностных реакций.

В данной работе объектом исследований выбран кристалл интерметаллида  $Pt_3Ti$ , вырезанный по плоскости с высоким индексом Миллера (510). Методами рентгеновской фотоэлектронной спектроскопии, дифракцией электронов низкой энергии, рассеяния ионов малых энергий и сканирующей туннельной микроскопии исследованы структурные особенности чистой и модифицированной при воздействии кислородной среды ( $P=3 \cdot 10^{-3}$  Па,  $T=773$  К) поверхности  $Pt_3Ti$  (510).

## Методика эксперимента

Поликристаллический  $Pt_3Ti$  приготовлен сплавлением чистых металлов (Pt и Ti) в инертной атмосфере (аргон) при температуре 1723 К. Кристалл  $Pt_3Ti$ , полученный рекристаллизационным отжигом в вакууме поликристаллического материала, был вырезан по плоскости (510) и механически полирован.

В работе использованы следующие методы изучения поверхности: сканирующая туннельная микроскопия (СТМ), дифракция электронов низких энергий (ДЭНЭ), рентгеновская фотоэлектронная спектроскопия (РФЭС) и рассеивание ионов малых энергий (РИМЭ) [1–3]. Эксперименты выполнены

в вакуумной системе (давление  $10^{-7}$  Па), состоящей из двух связанных блоков. Один (аналитический блок) предназначен для типовой подготовки образцов и их изучения методами РФЭС, ДЭНЭ и РИМЭ, другой представляет собой сканирующий туннельный микроскоп (модель GPI-300 [4]). Система оснащена манипуляторами, позволяющими свободно перемещать образец от аналитического блока к СТ-микроскопу. РФЭС спектры получены с использованием излучения  $\text{MgK}\alpha$  ( $h\nu=1253,6$  эВ). Для изучения методом РИМЭ использованы ионы  $\text{He}^+$  с энергией 1 кэВ и при угле отражения, равном  $135^\circ$ .

Подготовка образца  $\text{Pt}_3\text{Ti}$  (510) к поверхностным исследованиям состояла из последовательных операций: прокаливание при 1000 К и бомбардировка поверхности ионами аргона. Чистота поверхности контролировалась спектрами РФЭС и РИМЭ. Окисление кристалла  $\text{Pt}_3\text{Ti}$  (510) проводилось в аналитическом блоке при температуре образца 773 К и давлении  $3 \cdot 10^{-3}$  Па. Количество кислорода, взаимодействующего с предварительно очищенным образцом, изменялось путем вариации времени напуска кислорода в аналитический блок. Состав и структура окисленной поверхности исследовалась методами РФЭС, ДЭНЭ, РИМЭ и СТМ.

## Результаты и их обсуждение

Чистая поверхность  $\text{Pt}_3\text{Ti}$  (510)

Интерметаллид  $\text{Pt}_3\text{Ti}$  имеет структуру  $\text{L1}_2$  ( $\text{Cu}_3\text{Au}$ ), в которой атомы титана замещают атомы платины в углах кубической гранецентрированной решетки (рис. 1). Плоскость (100) решетки  $\text{Pt}_3\text{Ti}$  может быть двух видов: состоящей только из атомов Pt и из атомов как платины, так и титана (рис. 1). Схема плоскости (510) так же представлена на рис. 1. Плоскость (510) представляет собой совокупность ступеней, где каждая терраса содержит пять плоскостей в направлении (100) решетки  $\text{Pt}_3\text{Ti}$  и имеет двухатомную высоту. Возможны варианты плоскости (510): ступени содержат атомы платины (рис. 1, а) или состоят атомы Ti и Pt в различных комбинациях (рис. 1, б, в).

С целью выяснения модели поверхности (510) реализованной в исследуемом образце, чистая поверхность кристалла  $\text{Pt}_3\text{Ti}$  была изучена методами ДЭНЭ, РИМЭ и СТМ. На рис. 2 представлены РИМЭ спектр и ДЭНЭ картина чистой поверхности  $\text{Pt}_3\text{Ti}$  (510). Согласно [6], наличие раздвоенных рефлексов в ДЭНЭ картине связано с присутствием множества террас на поверхности  $\text{Pt}_3\text{Ti}$  (510)

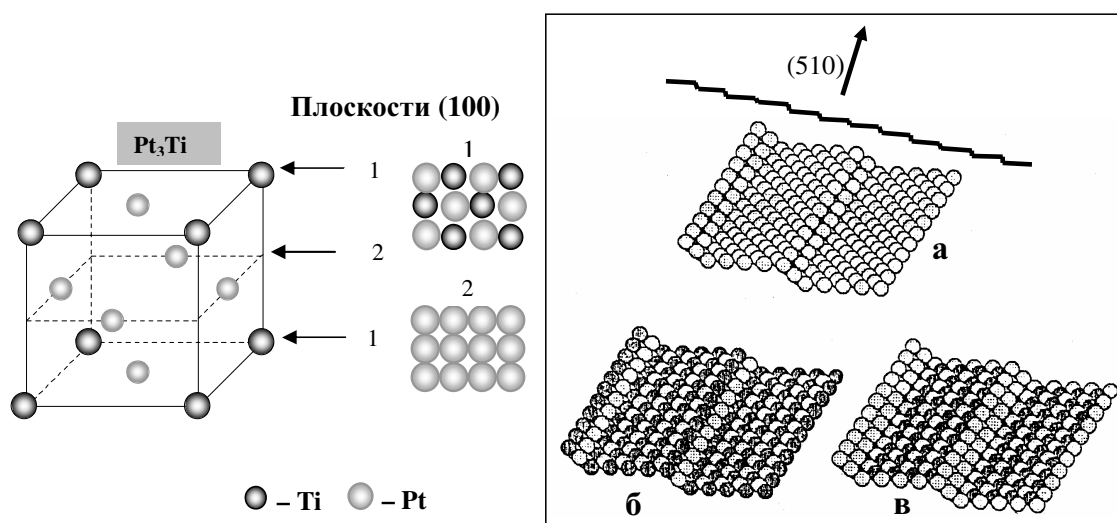


Рис. 1. Кристаллическая решетка  $\text{Pt}_3\text{Ti}$  ( $\text{L1}_2$ ) и схема ступенчатой поверхности  $\text{Pt}_3\text{Ti}$  (510). Возможные варианты состава террас плоскости (510): а) состоящие только из атомов платины; б, в) из атомов платины и титана

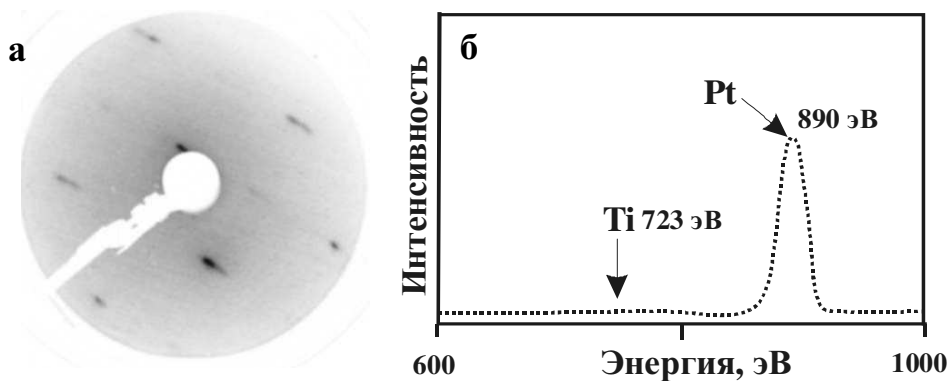
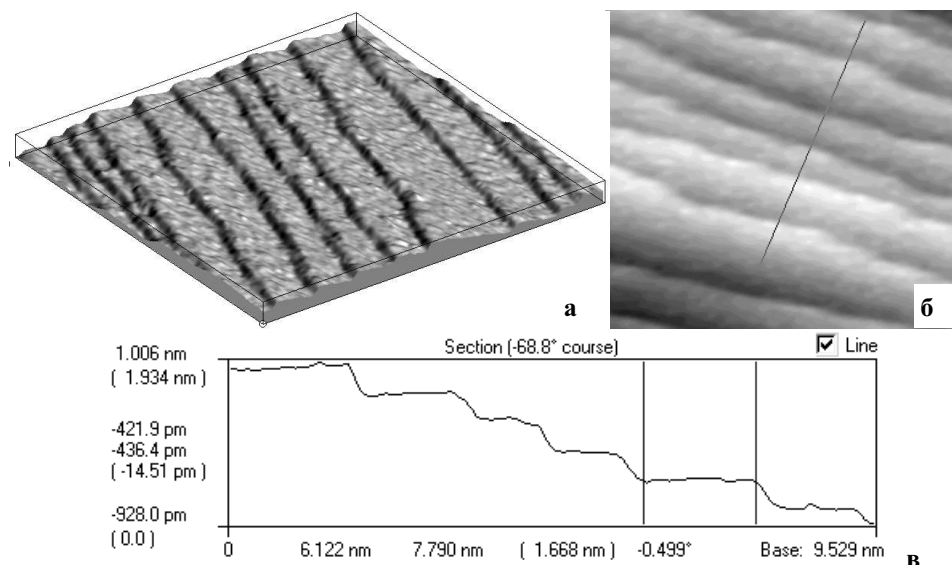


Рис. 2. ДЭНЭ изображение: а) и РИМЭ спектр б) чистой поверхности  $\text{Pt}_3\text{Ti}$  (510)



**Рис. 3.** Трехмерное а) и двухмерное б) СТМ изображения ( $139 \times 135 \text{ nm}^2$ ) чистой поверхности  $\text{Pt}_3\text{Ti}$  (510) и распределение по высоте и ширине (в), соответствующее линии на рис. б

(рис. 2, а). Расположение двойных рефлексов относительно центрального рефлекса (0,0) соответствует направлению плоскости (100) решетки кристалла. Как можно заметить, РИМЭ спектр чистой поверхности  $\text{Pt}_3\text{Ti}$  (510) имеет один пик, относящийся к платине (рис. 2, б). Наличие остаточного сигнала титана, возможно, связано с присутствием атомов Ti на дефектных краях террас.

СТМ изображения чистой поверхности  $\text{Pt}_3\text{Ti}$  (510) представлены на рис. 3. Можно видеть, что поверхность состоит главным образом из террас с высотой 3,9 Å. Однако, ступени характеризуются различной шириной. Статистический анализ показал, что среднее значение ширины террас составляет 20 Å. СТМ исследованиями обнаружено, что около 20 % поверхности  $\text{Pt}_3\text{Ti}$  (510) представлено ступенями моноатомной высоты (1,8 Å) с шириной 9...10 Å.

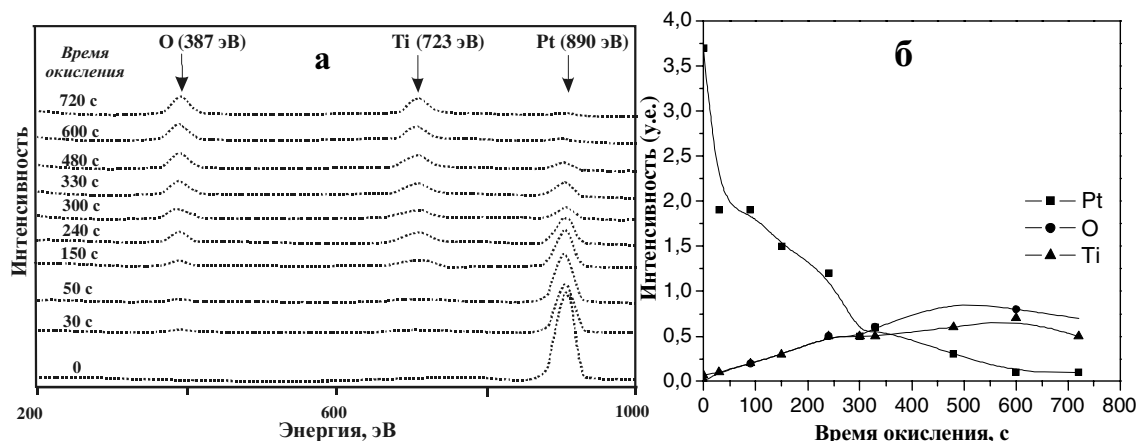
Таким образом, полученные данные по изучению состава и структуры поверхности  $\text{Pt}_3\text{Ti}$  (510) методами СТМ, РФЭС, ДЭНЭ показали, что для данной системы применима модель плоскости (510), пред-

ставленная на рис. 1, а. 80 % поверхности  $\text{Pt}_3\text{Ti}$  (510) характеризуется совокупностью террас со средней шириной 20 и высотой 3,9 Å, верхний атомный слой которых содержит атомы платины в направлении плоскости (100) решетки кристалла, а 20 % поверхности содержит дефектные моноатомные ступени.

Окисленная поверхность  $\text{Pt}_3\text{Ti}$  (510)

РИМЭ спектры, полученные при окислении образца при  $T=773 \text{ K}$ ,  $P=3 \cdot 10^{-4} \text{ Па}$  и различном времени контакта поверхности с кислородом, представлены на рис. 4.

Как можно заметить из рис. 4, а, б, наблюдается пропорциональный рост сигналов, ответственных за Ti и O. При 300 с значения интенсивностей Pt, Ti и O совпадают, что связано с формированием оксидного слоя, занимающего половину поверхности. С ростом времени окисления сигнал Pt уменьшается и при времени взаимодействия более 600 с практически отсутствует в спектрах РИМЭ. Можно предположить, что при времени контакта 600 с и



**Рис. 4.** РИМЭ спектры — а) и интенсивности пиков Pt, Ti, O — б) в зависимости от времени взаимодействия поверхности  $\text{Pt}_3\text{Ti}$  (510) с кислородом

более поверхность  $Pt_3Ti$  (510) полностью покрыта оксидным слоем.

С целью изучения элементного состава и структуры формируемого оксидного слоя были проведены исследования методами ДЭНЭ и РФЭС. ДЭНЭ изображения окисленной поверхности  $Pt_3Ti$  (510) представлены на рис. 5. Необходимо отметить, что при временах окисления 300 с и 720 с изображения имеют подобный вид. В ДЭНЭ изображениях окисленной поверхности  $Pt_3Ti$  (510) (рис. 5, а), в отличие от чистой, наблюдаются дополнительные рефлексы, указывающие на формирование оксида титана. Однако, так же присутствуют двойные рефлексы, ответственные за присутствие террас на поверхности образца. С ростом времени окисления двойные рефлексы на дифракционной картине постепенно исчезают и замещаются отдельными (рис. 5, б). Исчезновение двойных рефлексов вызвано формированием оксидного слоя, полностью изменяющего морфологию ступеней поверхности. Необходимо отметить, что ДЭНЭ изображения, наблюдаемые в данной работе, подобны изображениям  $TiO$  слоев, сформированных при окислении поверхности  $Pt_3Ti$  (100) [5, 6].

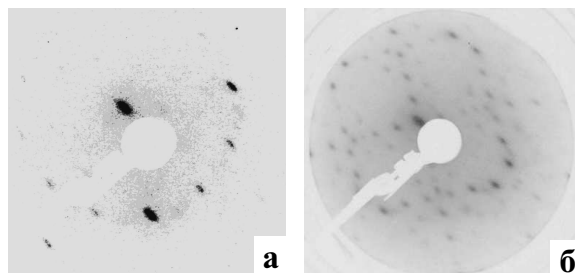


Рис. 5. ДЭНЭ изображения окисленной поверхности  $Pt_3Ti$  (510) при  $P=3 \cdot 10^{-4}$  Па,  $T=773$  К и времени окисления: а) 150 с, б) 300 с

РФЭС спектры в области  $Ti2p$ , измеренные при увеличивающемся количестве взаимодействующего с поверхностью кислорода, представлены на рис. 6. В течение окисления компонент спектра с энергией связи (ЭС) 455,5 эВ, ответственный за  $Pt_3Ti$ , постепенно исчезает. В то же время, сигнал с ЭС, равной 456,2 эВ, возрастает и становится основным пиком в  $Ti2p$  спектре поверхности, окисленной более чем за 300 с. Значение энергии связи

(456,2 эВ) соответствует  $Ti$  в состоянии  $Ti(II)$  [7]. Однако, анализ  $Ti2p$  спектров показал присутствие составляющей с энергией связи 459,0 эВ, ответственной за  $Ti(IV)$ . При времени окисления более 600 с данная компонента составляет приблизительно 20 % от основного пика  $Ti2p$ . Можно предположить, что в начале окисления (0...150 с) поверхностный оксидный слой имеет состав  $TiO$ , а при больших временах окисления формируется смесь  $TiO/TiO_2$ .

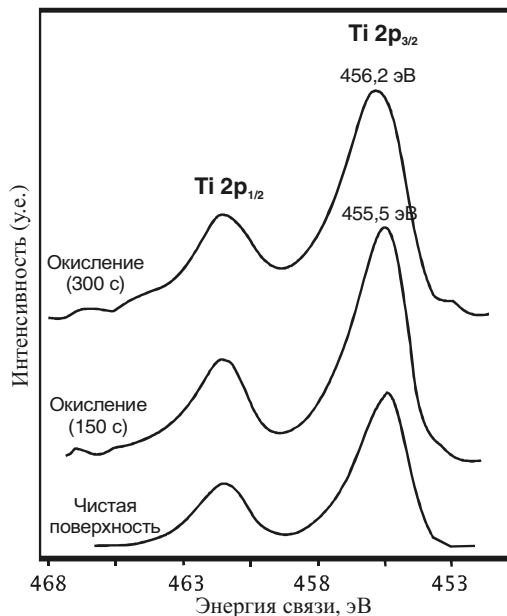


Рис. 6. РФЭС-спектры в области  $Ti2p$  для чистой и окисленной поверхности  $Pt_3Ti$  (510)

СТМ изображения, окисленной поверхности  $Pt_3Ti$  (510) представлены на рис. 7–9.

СТМ исследования показали, что на начальной стадии процесса наблюдается формирование островков оксида титана на дефектных выступах террас (рис. 7), которые в дальнейшем развиваются в виде клиньев по краям ступеней (рис. 8). Двухатомные ступени сосуществуют с мультиатомными слоями оксида со средней высотой 1 или 4 нм на отдельных террасах. Окисление при большем времени взаимодействия с кислородом ведет к существенной модификации морфологии поверхности.

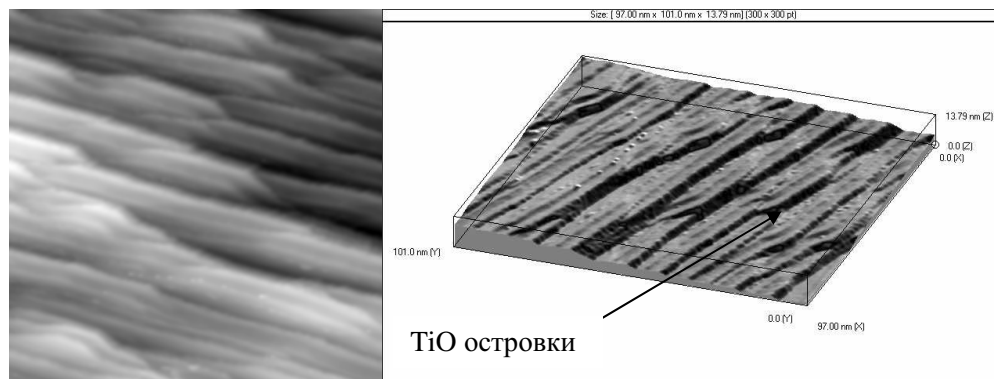
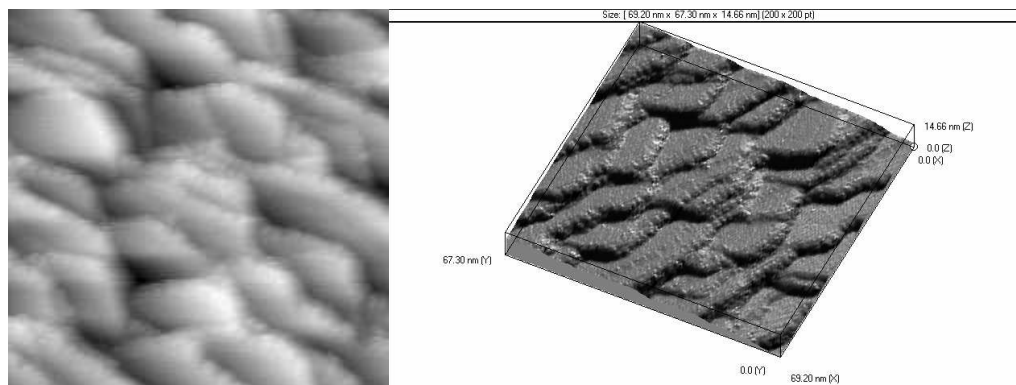
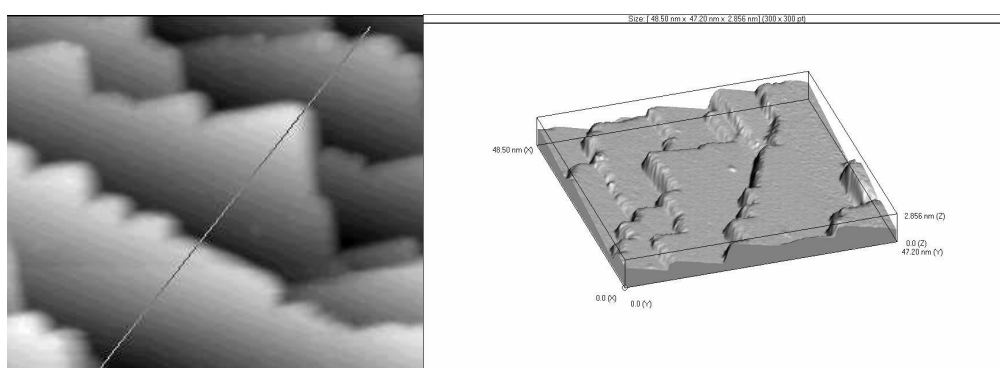


Рис. 7. Двухмерное и трехмерное СТМ изображения поверхности  $Pt_3Ti$  (510), окисленной при  $P=3 \cdot 10^{-4}$  Па,  $T=773$  К,  $t=150$  с. Область сканирования  $97 \times 101$  нм<sup>2</sup>



**Рис. 8.** Двухмерное и трехмерное СТМ изображения поверхности  $Pt_3Ti$  (510), окисленной при  $P=3 \cdot 10^{-4}$  Па,  $T=773$  К,  $t=300$  с. Область сканирования  $69,2 \times 67,3$  нм<sup>2</sup>



**Рис. 9.** Двухмерное и трехмерное СТМ изображения поверхности  $Pt_3Ti$  (510), окисленной при  $P=3 \cdot 10^{-4}$  Па,  $T=773$  К,  $t=720$  с. Область сканирования  $48,5 \times 47,2$  нм<sup>2</sup>

Наблюдается расширение террас за счет формирования слоя оксида титана, полностью покрывающего поверхность (рис. 9). На СТМ изображениях можно наблюдать ярко выраженные атомные ряды, которые могут быть интерпретированы как атомы титана и кислорода в поверхностном слое  $TiO$ .

### Заключение

Проведен комплекс исследований структуры и морфологии чистой поверхности  $Pt_3Ti$  (510) методами РИМЭ, РФЭС, ДЭНЭ и СТМ. Поверхность представляет собой множество террас со средней шириной – 20 и высотой – 3,9 Å. Верхний атомный слой данных террас содержит атомы платины в плоскости (100) решетки кристалла.

Исследованы стадии роста оксидного слоя на поверхности  $Pt_3Ti$  (510). Обнаружено, что взаимо-

действие с кислородом при давлении  $3 \cdot 10^{-4}$  Па и 773 К ведет к формированию оксида состава  $TiO$ . На ранних стадиях окисления островки  $TiO$  формируются по краям террас. Дальнейшее развитие оксидного слоя наблюдается как вдоль краев ступеней, так и по их поверхности. Террасы становятся более широкими и содержат мультиатомные оксидные слои. При времени взаимодействия более 600 с поверхность полностью покрыта оксидным слоем состава  $TiO$  – 80 %,  $TiO_2$  – 20 %.

*Автор выражает искреннюю благодарность сотрудникам Флорентийского университета U. Bardi, A. Atrei, B. Cortigiani за помощь в работе, полезные дискуссии и обсуждение результатов исследований.*

*Экспериментальная работа выполнена во Флорентийском университете (Флоренция, Италия).*

*Работа проводилась при поддержке гранта NATO № 974627.*

### СПИСОК ЛИТЕРАТУРЫ

1. Праттон М. Введение в физику поверхности. — Ижевск: НИЦ "Регулярная и хаотическая динамика", 2000. — 256 с.
2. Newbury D.E., Williams D.B. The electron microscope: the materials characterization tool of the millennium // Acta mater. — 2000. — V. 48. — P. 323–346.
3. Зенгуил Э. Физика поверхности. — М.: Мир, 1991. — 536 с.
4. Ельцов К.Н., Климов А.Н., Кузмичев А.В., Прядкин С.Л., Юров В.Ю. Сверхвысоковакуумный сканирующий микроскоп с изменяющейся температурой образца // Поверхность. Рентгеновские, синхротронные и нейтронные исследования. — 1999. — № 7. — С. 18–22.
5. Bardi U. The composition and structure of thin layers of titanium oxide on platinum surfaces // Catal. Letters. — 1990. — V. L798. — P. 81–88.
6. Bardi U., Ross P.N., Rovida G. Structure and Reactivity of Surfaces. — Amsterdam: Elsevier, 1989. — 59 p.
7. Moulder J.F., Strickle W.F., Sobol P.E., Bomben K.D. Handbook of X-ray Photoelectron Spectroscopy. — USA: Jill Chastain, 1992. — 120 p.